

Мультиплексная квантовая криптография с временным кодированием без интерферометров

С. Н. Молотков¹⁾

Институт физики твердого тела РАН, 142432 Черноголовка, Московская обл., Россия

Факультет вычислительной математики и кибернетики Московского государственного университета им. М. В. Ломоносова
119899 Москва, Россия

Поступила в редакцию 3 марта 2004 г.

Описаны три принципиально новых экспериментальных прототипа оптоволоконных схем квантовой криптографии, которые существенно проще имеющихся, более устойчивы в работе, содержат меньшее число оптических оптоволоконных компонентов и не требуют подстройки во время генерации ключа. Данные криптосистемы естественно назвать квантовой криптографией на временных сдвигах. Данные схемы реализуют протокол B92 и используют в качестве информационных состояний пару неортогональных однофотонных квантовых состояний. Одна из схем не использует оптоволоконных интерферометров типа Маха–Цандера, что позволяет естественным образом реализовать мультиплексный режим передачи секретного ключа.

PACS: 03.67.Dt, 42.50.-p, 89.70.+c

Криптосистемы с одноразовыми ключами дают возможность создать абсолютно стойкие системы шифрования [1, 2]. Квантовая криптография позволяет реализовать распространение секретного ключа между пространственно удаленными легитимными пользователями, которое гарантируется фундаментальными законами природы, а не ограниченными вычислительными или техническими возможностями подслушателя [3, 4]. Безусловная секретность квантовой криптографии в нерелятивистской области базируется, по сути, на принципе неопределенностей Гейзенберга. Более формально, на невозможности одновременного измерения наблюдаемых, которые описываются некоммутирующими операторами. В терминах пары векторов состояний квантовой системы, в которые кодируется классическая информация о ключе, это означает невозможность получения любой информации о передаваемых квантовых состояниях без их возмущения, если последние являются неортогональными [5]. Другим фундаментальным запретом квантовой механики, тесно связанным с предыдущим, является запрет на копирование заранее неизвестного квантового состояния [6]. На сегодняшний день уже создано несколько различных прототипов квантовых криптосистем на базе оптоволоконных линий связи [7]. Рекорд дальности передачи секретного ключа в квантовой криптосистеме с так называемой самокомпенсацией при помощи фарадеевских оптоволоконных отражателей на сегодняшний день

принадлежит японской (100 км) [8] и швейцарской (67 км) [9] группам. Имеющиеся прототипы квантовых криптосистем используют, в основном, следующие принципы. 1) Информация о ключе кодируется в поляризационные степени свободы [10]. 2) Фазовое кодирование, когда используются интерферометр Маха–Цандера, и информация кодируется в разность фаз, которая набирается на приемном и передающем плечах интерферометра [11, 12]. 3) Квантовые криптосистемы с частотной модуляцией несущей частоты [13]. 4) Квантовая криптография на когерентных состояниях с использованием гомодинного детектирования на приемном конце [14]. Наибольший прогресс достигнут в криптосистемах с фазовым кодированием и самокомпенсацией [8, 9] с использованием фарадеевских отражателей [15]. Апробирована первая локальная квантовая криптографическая сеть в Бостоне для распространения секретных ключей между пользователями на расстоянии в 10 км (проект выполняется по заказу DARPA – Defense Advanced Research Projects Agency) [16]. Существуют реализации прототипов квантовых криптосистем, осуществляющих передачу секретного ключа через открытое пространство [17, 18]. Рекорд по дальности (из опубликованных данных [19]) составляет 23.4 км как в дневное, так и в ночное время. Целью использования квантовых криптосистем (данное обстоятельство не скрывается в западных проектах) является генерация и передача секретных ключей через открытое пространство между наземными объектами и спутника-

¹⁾e-mail: molotkov@issp.ac.ru

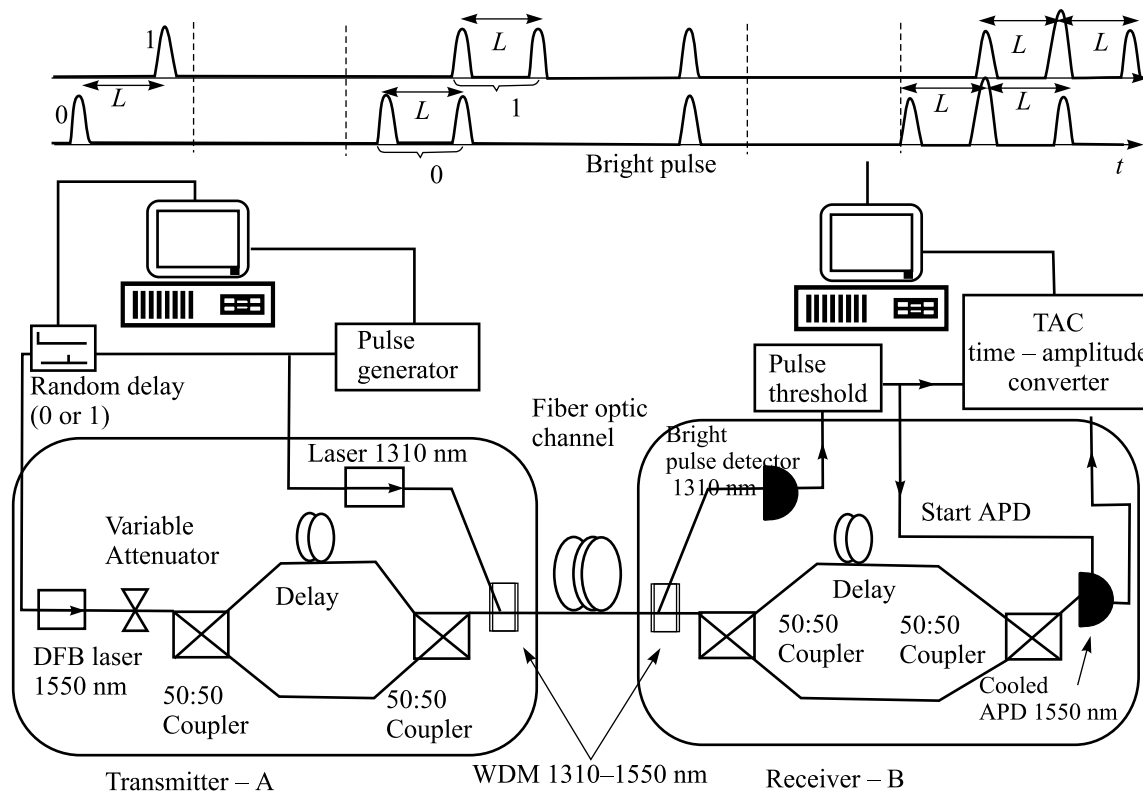


Рис.1. Блок-схема оптоволоконной квантовой криптосистемы на временных сдвигах: протокол B92

ми или между наземными объектами через спутники [17]. По оценкам разработчиков, это может быть осуществлено в ближайшие годы, поскольку существующий технологический уровень достаточен и планируемая цена является уже вполне приемлемой. Упомянутые криптосистемы, особенно схемы с фазовым кодированием и самокомпенсацией, достаточно сложны в реализации.

Опишем работу предлагаемой схемы (рис.1). Входные импульсы формируются схемой генератора импульсов, которая запускает одномодовый лазер с длиной волны 1310 нм. Данный лазер формирует синхронизирующий импульс в оптоволоконной линии, относительно которого происходит “привязка” по времени в каждой посылке однофотонных импульсов одномодового лазера с длиной волны 1550 нм (см. временную диаграмму на рис.1). Данный лазер выдает в оптоволоконный канал связи, ослабленные до уровня ~ 0.1 фотонов в среднем в импульсе информационного состояния. Схема задержки-выбора 0 или 1 запускается тактовым генератором и формирует импульсы для запуска лазера на 1550 нм, сдвинутые по времени относительно синхронизирующего импульса с длиной волны 1310 нм. Величина сдвига по времени состояний 0

и 1 равна разности времен прохождения длинного и короткого путей в передающем плече интерферометра (см. рис.1). Затем состояние поступает на вход оптоволоконного 50/50 светоделителя. Разные длины оптических путей приводят к формированию “двухпикового” состояния (суперпозиции двух “половинок” однофотонного состояния, сдвинутых за счет разности оптических путей в плече интерферометра). После второго светоделителя двухпиковое состояние направляется в канал связи вслед за синхронизирующим импульсом от лазера с длиной волны 1310 нм. Синхроимпульс в каждой посылке поступает первым в канал связи и от него отсчитывается время в каждой посылке. Данный импульс является классическим (многофотонным) и поступает на фотодетектор, который запускает пороговую схему. Пороговая схема требуется для того, чтобы не было ложных случайных срабатываний схемы запуска генератора в схеме ТАС (конвертера время-амплитуда, Time-Amplitude-Converter). После прихода синхроимпульса и запуска пороговой схемы “запускается” однофотонный детектор (APD). Детектор работает в ждущем режиме (гейгеровской моде счета фотонов). Для уменьшения вероятности темновых отсчетов на детектор подается напря-

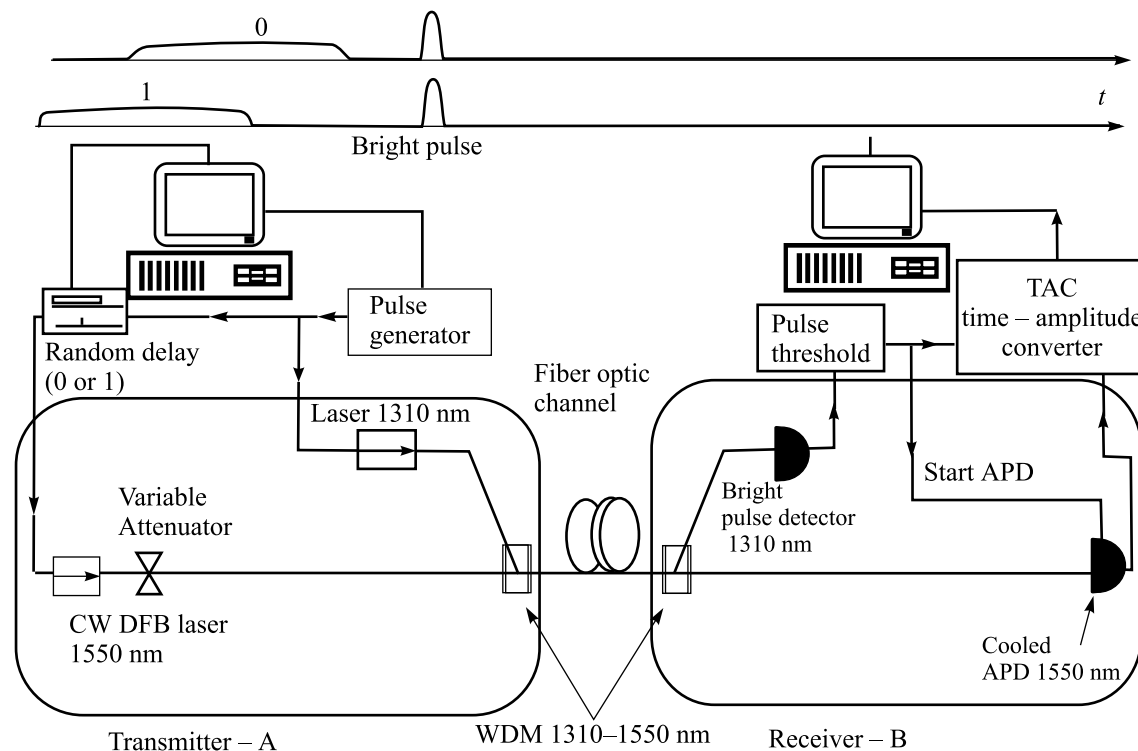


Рис.2. Блок-схема оптоволоконной квантовой криптосистемы на временных сдвигах без интерферометров: протокол B92

жение обратного смещения к моменту прихода информационных импульсов. После детектирования информационного импульса сигнал с APD поступает на конвертер время-амплитуда, который фиксирует время срабатывания APD. Соответственно, время срабатывания APD позволяет отличить состояние для 0 и 1 (см. выше). По времени регистрации существуют области однозначного различения состояний (conclusive result) для 0 и 1 (естественно, с вероятностью, меньшей единицы, из-за неортогональности состояний) и области неоднозначного различения (inconclusive result) (см. временную диаграмму на рис.1)

Приведем некоторые числовые оценки для параметров системы. В данной схеме не требуется очень точной балансировки плеч интерферометра на приемном и передающем концах. Поскольку исходно длительность импульса (l) $l \ll L$ (L – величина раздвижки – разность длинного и короткого путей (верхнего и нижнего) в плечах интерферометра), то не требуется идеально точной балансировки плеч между передающим и приемным концами интерферометра. Иначе говоря, “половинки” состояния на приемном конце не обязательно точно должны “собираться” в состояние, локализованное во временном окне l , лишь бы раздвижка за счет разной длины плеч на приемном

и передающем концах не превышала L , чтобы еще можно было отличать 0 от 1 в соответствующих временных окнах. Например, если длительность входного импульса составляет $l \sim 1$ нс, то раздвижка “половинок” $T \sim 10$ нс. Данная раздвижка возникает за счет разности длин длинного и короткого путей в плече интерферометра на передающем конце, которая в пересчете на разницу путей в оптоволокне дает $L = T(c/n) = 200$ см ($n = 1.42$ – показатель преломления оптоволокна). На приемном конце для сведения двух половинок вместе требуется такая же разность длин плеч с точностью порядка длительности отдельной половинки, что составляет в пересчете на длину $l \sim 20$ см.

Поскольку в схеме на временных сдвигах фазовые соотношения не используются, а используется лишь факт их перекрытия, то для обеспечения перекрытия можно даже вообще не использовать интерферометр, что является дальнейшим и радикальным упрощением.

Схемы на рис.2,3 также используют идею временного кодирования. Разница по сравнению с предыдущей состоит только в выборе информационных состояний. Генератор тактовых импульсов запускает лазер с длиной волны 1310 нм и длительностью импульса l . Со случайной задержкой, выбираемой из

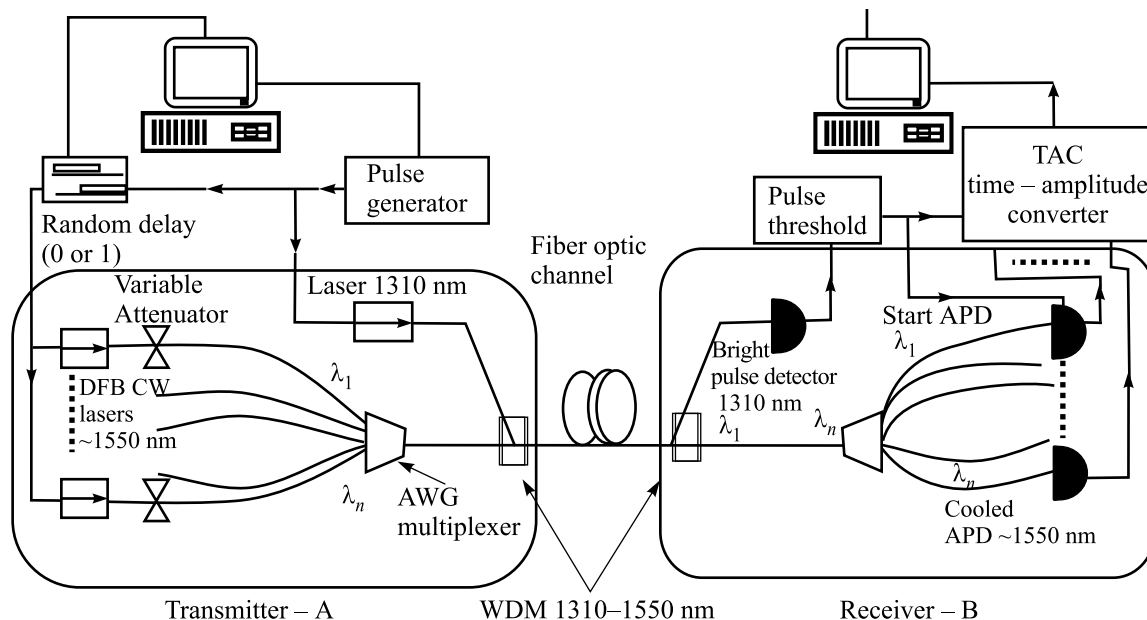


Рис.3. Блок-схема мультиплексной оптоволоконной квантовой криптосистемы на временных сдвигах: протокол B92

двух значений, запускается CW лазер с длиной волны 1550 нм. Грубо говоря, CW лазер – это источник, который либо постоянно включен и имеет на выходе заданное значение мощности, либо почти включен (находится чуть ниже порога генерации). При непосредственной модуляции приложение “ступеньки” дополнительного напряжения к CW лазеру длительностью $L \gg l$ приводит к появлению сигнала в оптоволоконной линии связи (см. временную диаграмму рис.2). Таким образом, приложение “ступеньки” напряжения к CW лазеру, сдвинутой в разных посылках относительно синхроимпульса, приводит к появлению в канале связи пары неортогональных (перекрывающихся) состояний (см. рис.2). В хороших CW лазерах с квантовыми ямами ширина линии может достигать сотен kHz. Для наших целей достаточно длительности информационного состояния, например, в 20 нс (соответственно, достаточно ширины линии излучения CW лазера в $\sim 10^7$ Hz). Не имеет смысла выбирать длительность информационных состояний слишком большой, поскольку требуется в течении этого времени держать APD обратным смещенным, что увеличивает вероятность паразитных темновых отсчетов.

Работа блок-схемы аналогична предыдущему. Тактовый генератор через схему формирования запускает лазер на 1310 нм, который выдает короткий синхроимпульс. Одновременно запускается схема выборки для информационных состояний, которая в зависимости от состояния генератора случайных

чисел (0 или 1), формирует управляющий токовый импульс сдвинутый относительно синхроимпульса на разную задержку. На приемном конце с приходом синхроимпульса срабатывает пороговая схема, которая синхронизирует запуск конвертора время-амплитуда и прикладывает обратное смещение на APD детектор. Момент срабатывания APD через TAC-конвертер записывается в память.

Данная схема допускает естественное обобщение на мультиплексный случай с разделением каналов по длинам волн. На рис.3 приведена блок схема мультиплексной криптосистемы, принцип работы которой аналогичен предыдущей схеме. Единственное изменение связано с введением в схему маршрутизатора (дифракционной решетки на массиве волноводов), изготовленного по AWG технологии, которая позволяет “свести” на передающем конце в один оптоволоконный кабель, а на приемном “развести” по разным каналам состояния с различными длинами волн.

Проведем краткий сравнительный анализ на примере двух оптоволоконных схем квантовой криптографии, основанных на принципе фазового кодирования. Именно на таких схемах на сегодняшний день в мире достигнуты рекорды по дальности. Главное преимущество данной схемы по сравнению со схемой на фазовом кодировании, когда информация кодируется в разность фаз, по сути, в разность разности длин плеч интерферометров на передающем и приемном концах, состоит в том, что точность такой разности должна составлять доли длины волны, т.е. раз-

ность разности длин плеч интерферометра на расстоянии в несколько десятков километров должна быть доли микрона, иначе схема просто не будет работать. Из-за высоких требований к точности в разности хода неизбежно приходится использовать поляризационный контроль, что также усложняет схему и снижает быстродействие. Двояколучепреломление, ответственное за разную скорость распространения излучения с разными компонентами поляризации, приводит к паразитному фазовому набегу. Такой набег приводит к тому, что схема с фазовым кодированием становится неработоспособной на больших расстояниях, если не производить компенсацию данного набегу. Для устранения этого паразитного эффекта используют дополнительные фарадеевские отражатели. Сравнение проводится со схемой с фазовым кодированием и самокомпенсацией при помощи фарадеевских отражателей. Рекорды по дальности в квантовых криптографических системах достигнуты в схемах с самокомпенсацией при помощи фарадеевских отражателей. Данные схемы, кроме упомянутых выше тонких моментов при реализации, содержат дополнительные оптоволоконные компоненты. При помощи фарадеевских отражателей решается проблема с двояколучепреломлением. Паразитный набег фазы для различных компонент поляризации при распространении от передающего к приемному концу компенсируется при обратном проходе. Упомянутые выше требования к точности юстировки плеч сохраняются и здесь. Схема может работать на больших расстояниях (вплоть до 100 км, как это было продемонстрировано японской группой) за счет устранения паразитных эффектов двояколучепреломления. Однако двухпроходность схемы приводит к большей чувствительности схемы к затуханию, поскольку вдвое удлиняет эффективную длину оптоволокна при том же физическом расстоянии, на которую осуществляется передача ключа. Поэтому данная схема является более сложной и дорогостоящей, чем предыдущая схема с фазовым кодированием без самокомпенсации. Еще один недостаток системы квантовой криптографии с самокомпенсацией при помощи фарадеевских зеркал состоит в ее более слабой криптостойкости относительно специфической атаки типа “троянский конь”.

Отметим, что схемы с фазовым кодированием не допускают простого обобщения на мультиплексный случай, поскольку набег разности фаз будет различным для разных длин волн. Таким образом, обсуждаемые выше схемы прототипов квантовой криптографии по сравнению с существующими обладают, на наш взгляд, рядом принципиальных преимуществ:

- Простота оптоволоконного интерферометра (рис.1), не требующего точной (до долей микрона) балансировки плеч и постоянной юстировки во время работы. Не требуется электроники для управления оптическими фазовыми модуляторами в плечах интерферометра.
- Схемы с временным кодированием могут быть сконструированы даже без использования оптоволоконных интерферометров типа Маха-Цандера (рис.2,3). Схемы без интерферометров допускают естественное расширение на мультиплексный режим, что позволяет увеличить скорость передачи ключа за счет увеличения частотных каналов и позволяет использовать криптосистему в локальных сетях, когда каждому получателю отвечает своя длина волны.
- Поскольку не требуется термостабилизация и юстировка плеч интерферометра во время работы, то скорость генерации ключа выше, чем в схемах с фазовым кодированием.
- Схема является однопроходной, что позволяет, из-за меньших потерь в оптоволокне, увеличить длину оптоволоконного квантового канала связи.

Выражаю благодарность М.И. Беловолу, А.В. Королькову, М.И. Лебедеву, А.Н. Пенину, М.В. Чеховой за полезные обсуждения. Работа поддержана Академией Криптографии Российской Федерации, а также проектом Российского фонда фундаментальных исследований (# 02-02-16289).

1. В. А. Котельников, Отчет (1941).
2. С. Е. Shannon, Bell Syst. Tech. Jour. **28**, 658 (1949).
3. S. Wiesner, SIGACT News **15**, 78 (1983).
4. С. Н. Bennett and G. Brassard, *Quantum Cryptography: Public Key Distribution and Coin Tossing*, Proc. of IEEE Int. Conf. on Comput. Sys. and Sign. Proces., Bangalore, India, December, 1984, p. 175.
5. С. Н. Bennett, Phys. Rev. Lett. **68**, 3121 (1992).
6. W. K. Wootters and W. H. Zurek, Nature **299**, 802 (1982).
7. N. Gisin, G. Ribordy, W. Tittel, and H. Zbinden, quant-ph/0101098; Rev. Mod. Phys. **74**, 145 (2002).
8. H. Kosaka, A. Tomita, Y. Nambu et al., quant-ph/0306066.
9. D. Stucki, N. Gisin, O. Guinnard et al., quant-ph/0203118.

10. A. Muller, J. Breguet, and N. Gisin, *Europhys. Lett.* **23**, 383 (1993); A. Muller, H. Zbinden, and N. Gisin, *Nature* **378**, 449 (1995); A. Muller, H. Zbinden, and N. Gisin, *Europhys. Lett.* **33**, 335 (1996).
11. Ch. Marand and P. D. Townsend, *Optics Lett.* **20**, 1695 (1995); P. D. Townsend, *Nature* **385**, 47 (1997); *IEEE Photonics Tech. Lett.* **10**, 1048 (1998).
12. R. Hughes, G. G. Luther, G. L. Morgan, and C. Simmons, *Lecture Notes in Computer Science* **1109**, 329 (1996); R. Hughes, G. Morgan, and C. Peterson, *J. Mod. Opt.* **47**, 533 (2000).
13. P. C. Sun, Y. Mazurenko, and Y. Fainman, *Opt. Lett.* **20**, 1062 (1995); Y. Mazurenko, R. Giust, and J. P. Goedgebuer, *Optics Commun.* **133**, 87 (1997).
14. F. Grosshans, G. Van Assche, J. Wenger et al., *Nature* **421**, 238 (2003).
15. M. Martinelli, *Opt. Commun.* **72**, 341 (1989); *J. Mod. Opt.* **39**, 451 (1992).
16. C. Elliot, D. Pearson, and G. Troxel, *Quantum Cryptography in Practice*, quant-ph/0307049 (2003).
17. J. G. Rarity, P. R. Tapster, P. M. Gorman, and P. Knight, *Ground to Satellite Secure Key Exchange using Quantum Cryptography*, *New J. Phys.* **4**, 82.1 (2002).
18. R. J. Hughes, J. E. Nordholt, D. Derkas, and C. G. Peterson, *Practical Free-Space Quantum Key Distribution over 10 km in Daylight and at Night*, quant-ph/0206092 (2002).
19. C. Kurtsiefer, P. Zarda, M. Halder et al., *Long Distance Free Space Quantum Cryptography*, preprint (2002).